

文章编号: 1000- 0887(2009)05- 0525- 13

应用数学和力学编委会, ISSN 1000- 0887

应用广义 Laguerre 函数的 Navier-Stokes 方程外部问题混合谱方法

焦裕建^{1,2,3}, 郭本瑜^{1,2,3}

(1. 上海师范大学 数学系, 上海 200234;
2. 上海高校科学计算重点实验室, 上海 200234;
3. 上海高校计算科学 E- 研究院, 上海 200234)

(戴世强推荐)

摘要: 研究应用广义 Laguerre 函数的四阶非线性偏微分方程外部问题混合谱方法 构造了圆外 Navier-Stokes 方程流函数形式的混合谱方法, 数值结果显示了该方法在空间方向的谱精度

关 键 词: 谱方法; 四阶外部问题; Navier-Stokes 方程

中图分类号: O174.41; O241.82; O357.1 **文献标识码:** A

DOI: 10.3879/j.issn.1000-0887.2009.05.003

引言

Navier-Stokes 方程在研究不可压缩流体中起着重要作用, 通常采用有限差分和有限元方法进行数值计算 有些学者提出了一些计算 Navier-Stokes 方程的谱方法^[1-4], 然而仅适用于周期问题和有界矩形区域上的问题 一个具有挑战性的问题是: 我们能否使用谱方法获得精确数值解? 最近, 郭本瑜等^[5]研究了二阶线性模型的圆外对称解问题, 郭本瑜等^[6]还研究了三维二阶外部问题的谱格式

本文研究四阶外部问题的混合谱方法 我们首先建立了一些应用广义 Laguerre 函数的正交逼近结果, 它们在具有球面几何的外部问题谱方法研究中起着重要作用 接下来, 我们构造单位圆外 Navier-Stokes 方程流函数形式的混合谱格式, 并分析它的广义稳定性和收敛性 这个方法有以下一些优点:

不需近似处理障碍物表面上的边界条件, 特别是避免了处理边界上速度和压力的困难

只需计算流函数, 不再计算速度和压力, 从而节省计算量 特别是数值解自动满足不可压缩性

得益于正交逼近的快速收敛性使得数值解在空间方向具有谱精度

收稿日期: 2008-11-14; 修订日期: 2009-03-17

基金项目: 国家自然科学基金资助项目(10871131); 上海市科委科技攻关资助项目(075105118); 上海市重点学科建设资助项目(S30405); 上海高校 E- 研究院基金资助(E03004)

作者简介: 焦裕建(1968), 男, 山东人, 讲师, 博士(联系人. Tel: +86-21-64324214(o); E-mail: yjiao@shnu.edu.cn).

1 预备知识

我们首先考虑应用广义 Laguerre 函数的正交逼近。令 $\mathcal{A} = \left\{ \lambda \mid 0 < \lambda < \infty \right\}$, (\cdot) 是权函数。对于任意的整数 $m \geq 0$, 我们象通常一样定义带权空间 $H^m(\mathcal{A})$ 具有内积 $(u, v)_{m, \mathcal{A}}$, 半范数 $\|v\|_{m, \mathcal{A}}$, 和范数 $\|v\|_{m, \mathcal{A}}$ 。当 $(\cdot) = 1$ 时, 我们省略符号。特别地, 我们用 (u, v) , 和 $\|v\|$, 表示空间 $L^2(\mathcal{A})$ 中的内积和范数。

令 $\tilde{\mathcal{A}}(\cdot) = e^{-\lambda} \mathcal{A}(\cdot)$, 其中 $\lambda > -1$, $\lambda > 0$ 。广义 Laguerre 函数定义如下:

$$\tilde{\mathcal{A}}^{(l)}(\lambda) = e^{-\lambda} \mathcal{A}^{(l)}(\lambda) = (1/l!)^{-1} e^{-\lambda} \lambda^{l+1} e^{-\lambda}, \quad l \geq 0$$

全体 $\tilde{\mathcal{A}}^{(l)}(\lambda)$ 所组成的集合是一个 $L^2(\mathcal{A})$ -完备正交系, 即

$$(\tilde{\mathcal{A}}^{(l)}, \tilde{\mathcal{A}}^{(m)}) = \begin{cases} 0, & l = m, \\ 1, & l \neq m, \end{cases} \quad (1)$$

这里 $\tilde{\mathcal{A}}^{(l)} = (l+1+1)/(l+1)l!$ 对于任意 $v \in L^2(\mathcal{A})$, 我们有

$$v(\lambda) = \sum_{l=0}^{\infty} v_l \tilde{\mathcal{A}}^{(l)}(\lambda), \quad v_l = \frac{1}{\tilde{\mathcal{A}}^{(l)}}(v, \tilde{\mathcal{A}}^{(l)}), \quad (2)$$

为了研究外部问题, 我们需要一些准备工作。记 $\tilde{v}(\lambda) = (1+\lambda)^4 e^{-\lambda}$ 和

$$\begin{aligned} {}_0H^1(\lambda) &= \left\{ v \in H^1(\mathcal{A}) \mid v(0) = 0 \right\}, \\ {}_0H^2(\lambda) &= \left\{ v \in H^2(\mathcal{A}) \mid v(0) = v'(0) = 0 \right\} \end{aligned}$$

接下来, 用 N 表示任意的正整数。 $\mathcal{R}(\mathcal{A})$ 表示次数不超过 N 的代数多项式集合, 并记

$$\begin{aligned} {}_0\mathcal{R}(N) &= \mathcal{R}(\mathcal{A}) \cap \left\{ v \mid v(0) = 0 \right\}, \\ {}_0\mathcal{R}_N^*(N) &= \mathcal{R}(\mathcal{A}) \cap \left\{ v \mid v(0) = v'(0) = 0 \right\} \end{aligned}$$

正交投影 ${}_0P_N : {}_0H^1(\mathcal{A}) \rightarrow {}_0\mathcal{R}(N)$ 定义如下:

$$(v - {}_0P_N(v), \tilde{\mathcal{A}}^{(r)}) + (v - {}_0P_N(v), \tilde{\mathcal{A}}^{(r+1)}) = 0, \quad {}_0\mathcal{R}(N)$$

根据文献[8]的引理 A.1, 如果 $v \in {}_0H^1(\mathcal{A})$, $v \in L^2_{r+1}(\mathcal{A})$ 和整数 $3 \leq r \leq N+1$, 那么

$$v - {}_0P_N(v) \in H^2(\mathcal{A}), \quad c(1+1/\lambda^{14})(N)^{3-r} \|v - {}_0P_N(v)\|_{r+1}^2, \quad (3)$$

今后, 我们用 c 表示一个不依赖于 N 和任意函数的正常数。

正交投影 ${}_0P_N^* : {}_0H^2(\mathcal{A}) \rightarrow {}_0\mathcal{R}_N^*(N)$ 定义如下:

$$\begin{aligned} (v - {}_0P_N^*(v), \tilde{\mathcal{A}}^{(r)}) + (v - {}_0P_N^*(v), \tilde{\mathcal{A}}^{(r+1)}) &= 0, \\ (v - {}_0P_N^*(v), \tilde{\mathcal{A}}^{(r+2)}) &= 0, \quad {}_0\mathcal{R}_N^*(N) \end{aligned}$$

根据文献[8]的引理 2.5, 如果 $v \in {}_0H^2(\mathcal{A})$, $v \in L^2_r(\mathcal{A})$ 和整数 $4 \leq r \leq N+1$, 那么

$$v - {}_0P_N^*(v) \in H^2(\mathcal{A}), \quad c(1+1/\lambda^{10})(N)^{4-r} \|v - {}_0P_N^*(v)\|_{r+1}^2, \quad (4)$$

现在, 我们研究应用广义 Laguerre 函数的正交投影。令

$${}_0H_{(\cdot+1)^4}^1(\lambda) = \left\{ v \in H_{(\cdot+1)^4}^1(\mathcal{A}) \mid v(0) = 0 \right\},$$

$${}_0H_{(\cdot+1)^4}^2(\lambda) = \left\{ v \in H_{(\cdot+1)^4}^2(\mathcal{A}) \mid v(0) = v'(0) = 0 \right\}$$

我们还记 $\mathcal{Q}_N(\mathcal{A}) = \left\{ e^{-\lambda/2} \mid \lambda \in \mathcal{R}(\mathcal{A}) \right\}$, ${}_0\mathcal{Q}_N(\mathcal{A}) = \left\{ e^{-\lambda/2} \mid \lambda \in {}_0\mathcal{R}(N) \right\}$ 和 ${}_0\mathcal{Q}_N^*(N) = \left\{ e^{-\lambda/2} \mid \lambda \in {}_0\mathcal{R}_N^*(N) \right\}$

正交投影 ${}_0P_N : {}_0H_{(\cdot+1)^4}^1(\mathcal{A}) \rightarrow {}_0\mathcal{Q}_N(\mathcal{A})$ 定义如下:

$$((v - 0 \hat{N}, , v), (\cdot)_{(+)^4} + (v - 0 \hat{N}, , v), (\cdot)_{(+)^4})_{\mathcal{Q}_N} = 0, \quad (5)$$

引理 1.1 若 $v(Q) \in \mathcal{H}_{(Q+1)^4}^1(+)$ 且 $5_Q^r(e^{BQ_2}v(Q)) \in L_{X_{r+1,B}}^2(+)$, 则对整数 $3 \leq r \leq N+1$,
 $+ 0 \hat{N}, B, +v - v + \frac{2}{(Q+1)^4}, + c(B^6 + 1/B^{14})(BN)^{3-r} + 5_Q^r(e^{BQ_2}v) + \frac{2}{X_{r+1,B}} + 1$ (6)

证明 记 $\hat{v}(Q) = e^{-BQ/2}v(Q) + (e^{BQ_2}v)I$ 由计算可得

$$\begin{aligned} & + 5_Q^r(\hat{v})_{(Q+1)^4} + (v - v + \frac{2}{(Q+1)^4}, + c(B^6 + 1/B^{14})(BN)^{3-r} + 5_Q^r(e^{BQ_2}v) + \frac{2}{X_{r+1,B}} + 1) \\ & Q_+(Q+1)^4 e^{-BQ} ((5_Q^r(e^{BQ_2}v) - e^{BQ_2}v))^2 + \\ & B((\hat{v})_{(Q+1)^4} - e^{BQ_2}v)^2 dQ \end{aligned} \quad (7)$$

$$+ 0 \hat{N}, B, +v - v + \frac{2}{(Q+1)^4}, + c(B^6 + 1/B^{14})(BN)^{3-r} + 5_Q^r(e^{BQ_2}v) + \frac{2}{X_{r+1,B}} + 1 \quad (8)$$

令 $\langle \cdot(Q) = \hat{v}(Q) \rangle_{0 \hat{N}, B, +v}(Q) I \in \mathcal{Q}_N^*$ 根据投影定理, 由式(7)、(8)和(3)得到

$$\begin{aligned} & + 0 \hat{N}, B, +v - v + \frac{2}{(Q+1)^4}, + c(B^6 + 1/B^{14})(BN)^{3-r} + 5_Q^r(e^{BQ_2}v) + \frac{2}{X_{r+1,B}} + 1 \\ & + 5_Q^r(e^{BQ_2}v) + \frac{2}{X_{r+1,B}} + 1 \end{aligned} \quad (9)$$

正交投影 $\hat{v}(Q) \in \mathcal{H}_{(Q+1)^4}^2(+)$ $\hat{v}(Q) \in \mathcal{Q}_N^*$ 定义如下:

$$\begin{aligned} & (5_Q^2(v - 0 \hat{N}, B, +v), 5_Q^2(\hat{v}))_{(Q+1)^4} + (5_Q^r(v - 0 \hat{N}, B, +v), 5_Q^r(\hat{v}))_{(Q+1)^4} + \\ & (v - 0 \hat{N}, B, +v, \hat{v})_{(Q+1)^4} = 0, \quad P \in \mathcal{Q}_N^* \end{aligned} \quad (10)$$

引理 1.2 若 $v(Q) \in \mathcal{H}_{(Q+1)^4}^2(+)$ 且 $5_Q^r(e^{BQ_2}v(Q)) \in L_{X_{r,B}}^2(+)$, 则对整数 $4 \leq r \leq N+1$,
 $+ 0 \hat{N}, B, +v - v + \frac{2}{(Q+1)^4}, + c(B^4 + 1/B^{10})(BN)^{4-r} + 5_Q^r(e^{BQ_2}v) + \frac{2}{X_{r,B}} + 1$ (10)

证明 记 $\hat{v}(Q) = e^{-BQ/2}v(Q) + (e^{BQ_2}v)I$ 由计算得到

$$\begin{aligned} & + 5_Q^2(\hat{v})_{(Q+1)^4} + (v - v + \frac{2}{(Q+1)^4}, + c(B^4 + 1/B^{10})(BN)^{4-r} + 5_Q^r(e^{BQ_2}v) + \frac{2}{X_{r,B}} + 1) \\ & Q_+(Q+1)^4 e^{-BQ} ((5_Q^2(\hat{v}) - e^{BQ_2}v)^2 + \\ & B((\hat{v})_{(Q+1)^4} - e^{BQ_2}v)^2 + B^4((\hat{v})_{(Q+1)^4} - e^{BQ_2}v)^2) dQ \end{aligned} \quad (11)$$

类似地

$$\begin{aligned} & + 5_Q^r(\hat{v})_{(Q+1)^4} + (v - v + \frac{2}{(Q+1)^4}, + c(B^4 + 1/B^{10})(BN)^{4-r} + 5_Q^r(e^{BQ_2}v) + \frac{2}{X_{r,B}} + 1) \\ & Q_+(Q+1)^4 e^{-BQ} ((5_Q^r(\hat{v}) - e^{BQ_2}v)^2 + \\ & B((\hat{v})_{(Q+1)^4} - e^{BQ_2}v)^2) dQ \end{aligned} \quad (12)$$

$$+ 0 \hat{N}, B, +v - v + \frac{2}{(Q+1)^4}, + c(B^4 + 1/B^{10})(BN)^{4-r} + 5_Q^r(e^{BQ_2}v) + \frac{2}{X_{r,B}} + 1 \quad (13)$$

令 $\langle \cdot(Q) = \hat{v}(Q) \rangle_{0 \hat{N}, B, +v}(Q) I \in \mathcal{Q}_N^*$ 根据投影定理, 式(11)~(13)和(4)推出

$$+ 0 \hat{N}, B, +v - v + \frac{2}{(Q+1)^4}, + c(B^4 + 1/B^{10})(BN)^{4-r} + 5_Q^r(e^{BQ_2}v) + \frac{2}{X_{r,B}} + 1 \quad (14)$$

在此节末尾, 我们来回顾一下 Fourier 逼近 1 令 $I = [0, 2P]$ 对任意 $L \setminus 0, H_p^L(I)$ 表示具有半范数 $|v|_{L,I}$ 和范数 $\|v\|_{L,I}$ 的 Sobolev 空间 1 所有函数 e^{iLH} 的集合是一个 $L^2(I)$ - 完备正交系 1 对任何整数 $L \setminus 0, H_p^L(I)$ 表示 $H_p^L(I)$ 中所有直到 $L-1$ 阶导数都以 $2P$ 为周期的实值函数构成的子空间 1 我们分别用 $|v|_{L,I}$ 和 $\|v\|_{L,I}$ 表示空间 $H_p^L(I)$ 的范数和半范数 1 此外, 我们用 $(u, v)_I$ 表示空间 $L^2(I)$ 的内积 1 对于任意 $s > 0, H_p^s(I)$ 用空间插值来定义 1

用 $V_M(I)$ 表示次数不超过 M 的实值三角函数的集合 1 正交投影 $P_{M,1}: L^2(I) \rightarrow V_M(I)$ 定

义如下:

$$(v - P_M, I v, <)I = 0, \quad P < I \quad V_M(I) I \quad (14)$$

根据文献[9]的定理 8.2, 对任意 $v \in H_p^s(I)$ 和实数 $0 \leq L \leq s$,

$$+ v - P_{M,I} v + L_I \leq c M^{L-s} \|v\|_{s,I} I \quad (15)$$

2 混合谱方法

令 $D = \{(r, H) | r \geq 1, 0 \leq H \leq 2P\}$ 对于任意标量函数 $v(r, H)$,

$$\$v = \frac{1}{r} \mathcal{S}_r(r \mathcal{S}_r v) + \frac{1}{r} \mathcal{H}^2 H v, \quad v = \begin{pmatrix} \mathcal{S}_r v, \frac{1}{r} \mathcal{H} v \end{pmatrix}^T,$$

$$G(u, v) = \frac{1}{r} \mathcal{H} \mathcal{S}_r \$v - \frac{1}{r} \mathcal{S}_r u \mathcal{H} \$v I$$

对于任意向量函数

$$w = (w_r, w H)^T, \quad @w = \frac{1}{r} \mathcal{S}_r(r w H) - \frac{1}{r} \mathcal{H} w I$$

我们用 $W(r, H, t)$ 和 $W_0(r, H)$ 分别表示流函数及其初始状态 $\mathbf{F}(r, H, t)$ 和 $L > 0$ 表示外力密度和动力粘度 \mathbf{l} 为了简单起见, 我们只考虑非滑动固定边界($r = 1$)的情况 1 我们还假设当 $r \rightarrow 1$ 时, $W(r, H, t)$ 和 $\mathcal{S}_r W(r, H, t)$ 都趋向于 01 此时, Navier-Stokes 方程的流函数形式如下所述:

$$\begin{cases} \mathcal{S}_t \$ W(r, H, t) + G(W(r, H, t), W(r, H, t)) - L \$^2 W(r, H, t) = \\ \quad @F(r, H, t), & \text{在 } D @ (0, T] \text{ 中}, \\ W(1, H, t) = \mathcal{S}_r W(1, H, t) = 0, & H I [0, 2P], t I [0, T], \\ \lim_{r \rightarrow 1} W(r, H, t) = \lim_{r \rightarrow 1} \mathcal{S}_r W(r, H, t) = 0, & H I [0, 2P], t I [0, T], \\ W(r, H, 0) = W_0(r, H), & \text{在 } D \text{ 中} \end{cases} \quad (16)$$

记

$$\begin{aligned} \mathbf{0} H^1(D) &= \left\{ v \in I \cap H^1(D) | v(1, H) = 0 \right\}, \\ \mathbf{0} H^2(D) &= \left\{ v \in I \cap H^2(D) | v(1, H) = \mathcal{S}_r(1, H) = 0 \right\} \end{aligned}$$

我们可以验证: 若 $W_0 \in \mathbf{0} H^1(D)$ 和 $\mathbf{F} \in I \cap (L^2(0, T; H^{-2}(D)))^2$, 则式(16) 在空间 $L^2(0, T; H^1(D)) \cap L^2(0, T; \mathbf{0} H^2(D))$ 中有唯一解 1

为了应用广义 Laguerre 函数来求解式(16), 我们令

$$r = Q+1, 8 = \left\{ (Q H) | Q \geq 0, 0 \leq H \leq 2P \right\}$$

和 $(u, v) 8 = \int_Q^Q g^u(Q H) v(Q H) (Q+1) dQ dH + v + 8 = (v, v) \frac{1}{8} I$

对于任意整数 $s \geq 0$, 我们用通常的方式定义空间 $H^s(8) I$ 特别地

$$\begin{aligned} H_p^s(8) &= \left\{ v \in I \cap H^s(8) | \mathcal{S}_r^k(Q H) (Q+2P) = \mathcal{S}_r^k(Q H, 0) \leq k \leq s-1 \right\}, \\ \mathbf{0} H_p^1(8) &= \left\{ v \in I \cap H_p^1(8) | v(0, H) = 0 \right\}, \\ \mathbf{0} H_p^2(8) &= \left\{ v \in I \cap H_p^2(8) | v(0, H) = \mathcal{S}_r(0, H) = 0 \right\} \end{aligned}$$

我们引入一些记号:

$$\begin{aligned} \$v &= \frac{1}{Q+1} \mathcal{S}_r(Q+1) \mathcal{S}_r(Q) + \frac{1}{(Q+1)^2} \mathcal{H}^2 H v, \quad v = \begin{pmatrix} \mathcal{S}_r v, \frac{1}{Q+1} \mathcal{H} v \end{pmatrix}^T, \\ G(u, v) &= \frac{1}{Q+1} \mathcal{H} \mathcal{S}_r(Q) \$v - \frac{1}{Q+1} \mathcal{S}_r(Q) \mathcal{H} \$v I \end{aligned}$$

若 $v \in H_p^2(8)$ 和 $u \in \mathbf{H}_p^1(8)$, 则

$$(\$v, u)_{\mathcal{S}} = -(\tilde{v}, \tilde{u})_{\mathcal{S}I} \quad (17)$$

若 $v \in H_p^2(8)$ 和 $u \in \mathbf{H}_p^2(8)$, 则

$$(\$v, u)_{\mathcal{S}} = (v, \$u)_{\mathcal{S}I} \quad (18)$$

此外, 对于任意向量函数 $w = (wQ wH)^T$,

$$\tilde{\circledast}_w = \frac{1}{Q+1} \mathbf{Q} (\mathbf{Q}+1) wH - \frac{1}{Q+1} \mathbf{H} wQ$$

在以后的讨论中, 我们还要用到记号

$$J(u(t), v(t), w(t)) = \left[\$v(t), \frac{1}{Q+1} \mathbf{H}(t) \mathbf{Q} v(t) - \frac{1}{Q+1} \mathbf{Q} u(t) \mathbf{H}(t) \right]_{\mathcal{S}I}$$

$$\text{显然 } J(u, v, w) + J(w, v, u) = 0, \quad J(u, v, u) = 0 \quad (19)$$

若 $v \in H_p^2(8)$, $u, w \in \mathbf{H}_p^1(8)$, 则可通过分部积分得到

$$J(u, v, w) = - (G(u, v), w)_{\mathcal{S}I} \quad (20)$$

接下来, 记

$$W(Q, H, t) = W(r, H, t), \quad W_0(Q, H) = W_0(r, H), \quad F(Q, H, t) = F(r, H, t)I$$

于是, 式(16)被改写成如下等价形式:

$$\begin{cases} 5_t \$ W(Q, H, t) + G(W(Q, H, t), W(Q, H, t)) - L\$^2 W(Q, H, t) = \\ \tilde{\circledast}_F(Q, H, t), & \text{在 } \mathcal{S} @ (0, T] \text{ 中,} \\ W(0, H, t) = 5QW(0, H, t) = 0, & HI [0, 2P], t I [0, T], \\ \lim_{Q \rightarrow 0} W(Q, H, t) = \lim_{Q \rightarrow 0} 5QW(Q, H, t) = 0, & HI [0, 2P], t I [0, T], \\ W(Q, H, 0) = W_0(Q, H), & \text{在 } \mathcal{S} \text{ 中 1} \end{cases} \quad (21)$$

为了设计合适的混合谱格式, 我们还需要进行如下的变换:

$$\begin{aligned} U(Q, H, t) &= (Q+1)^{-3/2} W(Q, H, t), \quad U_0(Q, H) = (Q+1)^{-3/2} W_0(Q, H), \\ f(Q, H, t) &= (Q+1)^{-3/2} F(Q, H, t)I \end{aligned}$$

此时式(21)转化为

$$\begin{cases} 5_t \$ ((Q+1)^{3/2} U(Q, H, t)) + G((Q+1)^{3/2} U(Q, H, t), \\ (Q+1)^{3/2} U(Q, H, t)) - L\$^2 ((Q+1)^{3/2} U(Q, H, t)) = \\ \tilde{\circledast}_F((Q+1)^{3/2} U(Q, H, t)), & \text{在 } \mathcal{S} @ (0, T] \text{ 中,} \\ U(0, H, t) = 5QU(0, H, t) = 0, & HI [0, 2P], t I [0, T], \\ \lim_{Q \rightarrow 0} (Q+1)^{3/2} U(Q, H, t) = \lim_{Q \rightarrow 0} (Q+1)^{3/2} Q(U(Q, H, t)) = 0, & HI [0, 2P], t I [0, T], \\ U(Q, H, 0) = U_0(Q, H), & \text{在 } \mathcal{S} \text{ 中 1} \end{cases} \quad (22)$$

我们用 $V(Q)$ 表示某权函数, 相应的我们用 $(u, v)_{V, 8}$ 和 $+v + V, 8 = (v, v)_{V, 8}^{1/2}$ 表示空间 $L_V^2(8)$ 的内积和范数 1 令 $X_m(Q) = (Q+1)^m$, $m \geq 0$ 显然有 $(u, v)_{X_m, 8} = (u, v)_{\mathcal{S}} = (u, v)_{\mathcal{S}I}$ 和 $+v + X_0, 8 = +v + 8I$ 我们定义空间

$$\begin{aligned} 0H_{p, X_4, X_2}^1(8) &= \\ \left\{ v \mid v(Q, H \in 2P) = v(Q, H), v(0, H) = 0 \text{ 和 } +v +_{1, X_4, X_2} 8 < \right\}, \end{aligned}$$

配有如下的范数:

$$+ v + 1, X_4, X_2, 8 = (+ 5Q + \frac{2}{X_4}, 8 + + 5H + \frac{2}{X_2}, 8 + + v + \frac{2}{X_2}, 8)^{1/2},$$

又定义空间

$$\begin{aligned} 0H_{p, X_4, X_2, X_0}^2(8) &= \left\{ v \mid v(QH + 2P) = v(QH), \right. \\ v(0, H) &= 5pv(0, H) = 0 \text{ 和 } + v + 2, X_4, X_2, X_0, 8 \leq J \left. \right\}, \end{aligned}$$

其范数为

$$+ v + 2, X_4, X_2, X_0, 8 = (+ 5Q^2v + \frac{2}{X_4}, 8 + + 5H^2v + \frac{2}{X_2}, 8 + + v + \frac{2}{X_2}, X_2, X_0, 8)^{1/2},$$

现在我们推导带权空间中式(22)的弱形式1 也就是求函数 $U \in L^2(0, T; H_{p, X_4, X_2}^1(8))$

$H^2(0, T; 0H_{p, X_4, X_2, X_0}^2(8))$, 使得

$$\left\{ \begin{array}{l} (\tilde{S}_t \sim ((Q+1)^{3/2}U(t)), \sim ((Q+1)^{3/2}v)) 8 + \\ J((Q+1)^{3/2}U(t), (Q+1)^{3/2}U(t), (Q+1)^{3/2}v) + \\ L(\$(((Q+1)^{3/2}U(t)), \$((Q+1)^{3/2}v)) 8 = \\ - (\tilde{\circ} @ ((Q+1)^{3/2}f(t)), (Q+1)^{3/2}v) 8, \\ P v I 0H_{p, X_4, X_2, X_0}^2(8), t I (0, T], \\ U(0) = U_0, \quad \text{在 } 8 \text{ 中 } 1 \end{array} \right. \quad (23)$$

现在构造混合谱格式1 令 $V_{N,M}^*(8) = 0\mathcal{Q}_{N,M}(+) \cup V_M(I)$ 和 $V_{N,M}(8) = 0\mathcal{Q}_{N,M}^*(+) \cup V_M(I)$ 正交投影 $00_{N,M}^1: 0H_{p, X_4, X_2}^1(8) \rightarrow V_{N,M}^*(8)$ 定义如下:

$$(5Q00_{N,M}^1v - v), 5QX_4, 8 + (5H00_{N,M}^1v - v), 5HX_2, 8 + \\ (00_{N,M}^1v - v, <) X_2, 8 = 0, \quad P < I V_{N,M}^*(8) I$$

正交投影 $00_{N,M}^2: 0H_{p, X_4, X_2, X_0}^2(8) \rightarrow V_{N,M}(8)$ 定义如下:

$$(5Q00_{N,M}^2v - v), 5QX_4, 8 + (5H00_{N,M}^2v - v), 5HX_2, 8 + \\ (5Q00_{N,M}^2v - v), 5QX_4, 8 + (5H00_{N,M}^2v - v), 5HX_2, 8 + \\ (00_{N,M}^2v - v, <) X_2, 8 = 0, \quad P < I V_{N,M}(8) I$$

计算式(23)的混合谱格式就是求函数 $u_{N,M}(t) \in V_{N,M}(8)$, 使得

$$\left\{ \begin{array}{l} (\tilde{S}_t \sim ((Q+1)^{3/2}u_{N,M}(t)), \sim ((Q+1)^{3/2}<)) 8 + \\ J((Q+1)^{3/2}u_{N,M}(t), (Q+1)^{3/2}u_{N,M}(t), (Q+1)^{3/2}<) + \\ L(\$(((Q+1)^{3/2}u_{N,M}(t)), \$((Q+1)^{3/2}<)) 8 = \\ - (\tilde{\circ} @ ((Q+1)^{3/2}f(t)), (Q+1)^{3/2}<) 8, \\ P < I V_{N,M}(8), t I (0, T], \\ u_{N,M}(0) = u_{N,M,0} = 00_{N,M}^1 U_0, \quad \text{在 } 8 \text{ 中 } 1 \end{array} \right. \quad (24)$$

原问题(16)的数值解由 $w_{N,M}(r, H, t) = r^{3/2}u_{N,M}(r - 1, H, t)$ 给出1

现在检验数值解在空间 $L^2(0, T; H^1(8)) \cap H^2(0, T; 0H^2(8))$ 中的有界性 1 我们在式(24)中取 $< = 2u_{N,M}(t)$ 并应用式(19)得到

$$\begin{aligned} 5_t + \tilde{\circ} ((Q+1)^{3/2}u_{N,M}(t)) + \frac{2}{8} + 2L + \$((Q+1)^{3/2}u_{N,M}(t)) + \frac{2}{8} = \\ - 2(\tilde{\circ} @ ((Q+1)^{3/2}f(t)), (Q+1)^{3/2}u_{N,M}(t)) 8I \end{aligned} \quad (25)$$

若 w 和 v 关于 H 以 $2P$ 为周期, 且当 $Q \neq 0, J$ 时 $(Q+1)wH \neq 0$, 则由分部积分得到

$$2(\tilde{v} @ w, v) 8 \int a + \tilde{v} + \frac{2}{8} + (1/a) + w + \frac{2}{8}, \quad a > 0 \quad (26)$$

所以由式(25)推出

$$\begin{aligned} 5t + \tilde{v} ((Q+1)^{3/2} u_{N,M}(t)) + \frac{2}{8} + 2L + \$((Q+1)^{3/2} u_{N,M}(t)) + \frac{2}{8} \\ a + \tilde{v} ((Q+1)^{3/2} u_{N,M}(t)) + \frac{2}{8} + (1/a) + (Q+1)^{3/2} f(t) + \frac{2}{8} \end{aligned} \quad (27)$$

$$\text{令 } E(v, R, t) = + \tilde{v}(t) + \frac{2}{8} + R_0^t + \$v(s) + \frac{2}{8} ds I \quad (28)$$

用 e^{-at} 乘式(27)的两边, 得到的结果再对 t 积分得到

$$E((Q+1)^{3/2} u_{N,M}, 2L, t) \int \left[+ \tilde{v} ((Q+1)^{3/2} u_{N,M}(t)) + \frac{2}{8} + \frac{1}{a} Q_0^t e^{-as} + (Q+1)^{3/2} f(s) + \frac{2}{8} ds \right] I \quad (29)$$

$$\text{此外, 令 } \mathcal{O}_{00}^{1,*} v(r) = \mathcal{O}_{00}^{1,M} ((Q+1)^{-3/2} v(Q+1)) | Q_{r-1} \text{ 和 } E^*(v, R, t) = + \tilde{v}(t) + \frac{2}{8} + R_0^t + \$v(s) + \frac{2}{8} ds I \text{ 由式(29)得到}$$

$$E^*(w_{N,M}, 2L, t) \int e^{-at} \left[+ \tilde{v} ((Q+1)^{3/2} u_{N,M}(t)) + \frac{2}{8} + \frac{1}{a} Q_0^t e^{-as} + F(s) + \frac{2}{8} ds \right] I$$

3 误差分析

下面 4 个引理来自文献[8]的第 4 节 1

引理 3.1 对于任意 $v \in \mathcal{H}_p^1(8)$,

$$+ v + L^4(8) \int 2 + v + \frac{2}{8} + \tilde{v} + \frac{2}{8} I \quad (30)$$

引理 3.2 对于任意 $v \in \mathcal{H}_p^2(8)$,

$$\begin{aligned} + \$v + \frac{2}{8} = + 5Qv + \frac{2}{8} + 2 \left\| \frac{1}{Q+1} 5QHv \right\|_8^2 + \left\| \frac{1}{(Q+1)^{25}} Hv \right\|_8^2 + \\ \left\| \frac{1}{Q+1} 5Q \right\|_8^2 - 4 \left\| \frac{1}{(Q+1)^{25}} Hv \right\|_8^2 \end{aligned} \quad (31)$$

引理 3.3 对于任意 $v \in H^2(8)$ 和 $u, w \in \mathcal{H}_p^2(8)$,

$$\begin{aligned} | J(u, v, w) | \int c + \$v + 8 + \tilde{u} + \frac{1}{8} + \tilde{w} + \frac{1}{8} (+ \$u + \frac{1}{8} + \\ + \tilde{u} + \frac{1}{8}) (+ \$w + \frac{1}{8} + \tilde{w} + \frac{1}{8}) I \end{aligned} \quad (32)$$

引理 3.4 对于任意 $u, w \in \mathcal{H}_p^2(8)$,

$$\begin{aligned} | J(u, u, w) | \int c + \tilde{u} + (+ \$u + 8 + \tilde{u} + 8) (+ \$w + 8 + \tilde{w} + 8) I \end{aligned} \quad (33)$$

现在我们来分析格式(24)的稳定性 1 由于式(24)是非线性问题, 故没有通常意义上的稳定性, 但是可以具有文献[9]所阐述的广义稳定性, 我们假设 f 和 $u_{M,N,0}$ 分别具有误差 ϵ_f 和 $u_{N,M,0}$, 它们导致数值解 $u_{N,M}$ 的误差 $u_{N,M,1}$ 由方程(24)得到

$$\begin{aligned} (5t \tilde{v} ((Q+1)^{3/2} u_{N,M}(t)), \tilde{v} ((Q+1)^{3/2} \epsilon_f)) 8 + \\ J((Q+1)^{3/2} u_{N,M}(t), (Q+1)^{3/2} u_{N,M}(t), (Q+1)^{3/2} \epsilon_f) 8 + \\ J((Q+1)^{3/2} u_{N,M}(t), (Q+1)^{3/2} (u_{N,M}(t) + u_{N,M,1}(t)), (Q+1)^{3/2} \epsilon_f) + \\ L(\$((Q+1)^{3/2} u_{N,M}(t)), \$((Q+1)^{3/2} \epsilon_f)) 8 = \\ - (\tilde{v} @ ((Q+1)^{3/2} f(t)), (Q+1)^{3/2} \epsilon_f) 8 I \end{aligned} \quad (34)$$

在式(34)中取 $\epsilon_f = 2u_{N,M}$, 则应用式(19)得到

$$\begin{aligned} & t + \tilde{\left(\left(Q+1 \right)^{3/2} u_{N,M}(t) \right)} + \frac{2}{8} + 2L + \$\left(\left(Q+1 \right)^{3/2} u_{N,M}(t) \right) + \frac{2}{8} - \\ & 2J\left(\left(Q+1 \right)^{3/2} u_{N,M}(t), \left(Q+1 \right)^{3/2} u_{N,M}(t), \left(Q+1 \right)^{3/2} u_{N,M}(t) \right) = \\ & - 2(\tilde{\left(\left(Q+1 \right)^{3/2} v(t) \right)}, \left(Q+1 \right)^{3/2} u_{N,M}(t)) 8I \end{aligned} \quad (35)$$

令

$$\begin{aligned} V(v, L, t) = & c(1 + 1/L)(+ \$\left(\left(Q+1 \right)^{3/2} v(t) \right) + \frac{2}{8} + \\ & + \tilde{\left(\left(Q+1 \right)^{3/2} v(t) \right)} + \frac{2}{8}) I \end{aligned}$$

我们应用 Cauchy 不等式和式(33)导出

$$\begin{aligned} & | J\left(\left(Q+1 \right)^{3/2} u_{N,M}(t), \left(Q+1 \right)^{3/2} u_{N,M}(t), \left(Q+1 \right)^{3/2} u_{N,M}(t) \right) | \leq \\ & L + \$\left(\left(Q+1 \right)^{3/2} u_{N,M} \right) + \frac{2}{8} + (V(u_{N,M}, L, t) + 1) + \tilde{\left(\left(Q+1 \right)^{3/2} u_{N,M}(t) \right)} + \frac{2}{8} I \end{aligned}$$

另一方面, 可根据式(26)得到

$$\begin{aligned} & | 2(\tilde{\left(\left(Q+1 \right)^{3/2} f(t) \right)}, \left(Q+1 \right)^{3/2} u_{N,M}(t)) 8 | \leq \\ & + \tilde{\left(\left(Q+1 \right)^{3/2} u_{N,M}(t) \right)} + \frac{2}{8} + (\left(Q+1 \right)^{3/2} f(t) + \frac{2}{8}) I \end{aligned}$$

令 $E(v, R, t)$ 如式(28)所示1 把上面两式代到式(35)中可得

$$\begin{aligned} 5t \left[E\left(\left(Q+1 \right)^{3/2} u_{N,M}, L, t \right) e^{-Q_0^t (V(u_{N,M}, L, s) + 1) ds} \right] I \\ e^{-Q_0^t (V(u_{N,M}, L, s) + 1) ds} + (\left(Q+1 \right)^{3/2} f(t) + \frac{2}{8}) I \end{aligned}$$

把上式两边关于 t 积分得到

$$\begin{aligned} E\left(\left(Q+1 \right)^{3/2} u_{N,M}, L, t \right) I e^{\Phi^t (V(u_{N,M}, L, s) + 1) ds} \left[\begin{aligned} & e^{-Q_0^t (V(u_{N,M}, L, G) + 1) dG} @ \\ & + (\left(Q+1 \right)^{3/2} f(s) + \frac{2}{8}) ds + \tilde{\left(\left(Q+1 \right)^{3/2} u_{N,M}, 0 \right)} + \frac{2}{8} I \end{aligned} \right] \end{aligned} \quad (36)$$

又由式(29)可得

$$Q_0^t (V(u_{N,M}, L, s) + 1) ds <] , \quad 0 [t [T I$$

所以估计式(36)隐含着式(24)的广义稳定性1

今用 $w_{N,M}$, W_0 和 F 分别表示数值解 $w_{N,M}$ 相应的初始状态 W_0 和外力 F 的误差1 又记

$$V^*(v, L, t) = (1 + 1/L)(+ \$v(t) + \frac{2}{D} + v(t) + \frac{2}{D}) I$$

令 $\| w_{N,M} - E^*(v, R, t) \|$ 与前面的含义一致, 由式(36)可得

$$\begin{aligned} E^*(w_{N,M}, L, t) I e^{\Phi_0^t (V^*(w_{N,M}, L, s) + 1) ds} \left[\begin{aligned} & + (\left(r^{3/2} \| w_{N,M} - W_0 \| \right) + \frac{2}{D} + \\ & Q_0^t e^{-Q_0^t (V^*(w_{N,M}, L, G) + 1) dG} + F + \frac{2}{D}) ds \end{aligned} \right] I \end{aligned}$$

我们接下来讨论格式(24)的收敛性, 为此还需要另外一些准备工作1

引理 3.5 对任何 $v \in H_p^1(X_4, X_2, 8)$,

$$+ \tilde{\left(\left(Q+1 \right)^{3/2} v \right)} + 8 \int c + v + 1, X_4, X_2, 8, \quad (37)$$

对任何 $v \in H_p^2(X_p, X_2, X_0, 8)$,

$$+ \$\left(\left(Q+1 \right)^{3/2} v \right) + 8 \int c + v + 2, X_4, X_2, X_0, 8 I \quad (38)$$

为了表述简单起见, 我们引入下面一些记号1 对于整数 $r, s \geq 0$,

$$\| v \|_{A_B^{r,s}(I)} = \left[QQ_8 Q^{r+1} e^{-BQ} (5Q^s \tilde{h}(e^{BQ_2} v))^2 dQdH \right]^{1/2},$$

$$\begin{aligned} \|v\|_{H_V^r(+, H^s(I))} &= \left(QQ_8 V(Q) (5Q^s H)^2 dQdH \right)^{1/2}, \\ \tilde{\mathcal{B}}_{r,s,B}(v) &= \|v\|_{A_B^r(+, L^2(I))}^2 + \|v\|_{A_B^r(+, H^1(I))}^2 + \|v\|_{H_{X_4}^1(+, H^{s-2}(I))}^2 + \\ &\quad \|v\|_{L_{X_2}^2(+, H^{s-1}(I))}^2 + \|v\|_{L_{X_2}^2(+, H^{s-2}(I))}^2 \end{aligned}$$

引理 3.6 如果 $v \in \partial H_{p,X_4,X_2}^1(8)$, 且对整数 $3 \leq r \leq N+1$ 和 $s \leq 2$, $\tilde{\mathcal{B}}_{r,s-1,B}(v)$ 有界, 那么,

$$+\|v\|_{N,M}^2 - \|v\|_{X_4,X_2}^2 \leq c \left(\left(B^3 + \frac{1}{B^7} \right) (BN)^{3/2-r/2} + M^{2-s} \right) \tilde{\mathcal{B}}_{r,s-1,B}^{1/2}(v) I \quad (39)$$

证明 根据投影定理,

$$+\|v\|_{N,M}^2 - \|v\|_{X_4,X_2}^2 = \inf_{V_{N,M}^*(8)} \|v - v_{X_4,X_2}\|_{V_{N,M}^*(8)}$$

令 $\|v\|_{N,B}^2, P_{M,IV}$ 如式(5)和(14)所示, 并取 $\zeta = \|v\|_{N,B}^2 + P_{M,IV} I - V_{N,M}^*(8) I$ 根据式(6)和(15)可得到要证明的结论1 t

接下来, 我们估计 $\|v\|_{N,M}^2 - \|v\|_{X_4,X_2,X_0}^2$ 为此引入下列记号:

$$\begin{aligned} \|v\|_{A_B^r(+, H^s(I))} &= \left(QQ_8 Q e^{-BQ} (5Q^s H)^2 dQdH \right)^{1/2}, \\ \tilde{\mathcal{B}}_{r,s,B}(v) &= \|v\|_{A_B^r(+, H^2(I))}^2 + \|v\|_{A_B^r(+, H^1(I))}^2 + \|v\|_{A_B^r(+, L^2(I))}^2 + \\ &\quad \|v\|_{H_{X_4}^2(+, H^{s-2}(I))}^2 + \|v\|_{H_{X_4}^1(+, H^{s-2}(I))}^2 + \|v\|_{L_{X_2}^2(+, H^{s-2}(I))}^2 + \\ &\quad \|v\|_{L_{X_2}^2(+, H^{s-1}(I))}^2 + \|v\|_{L_{X_0}^2(+, H^s(I))}^2 \end{aligned}$$

引理 3.7 如果 $v \in \partial H_{p,X_4,X_2,X_0}^2(8)$, 且对整数 $4 \leq r \leq N+1$ 和 $s \leq 2$, $\tilde{\mathcal{B}}_{r,s,B}(v)$ 有界, 那么

$$+\|v\|_{N,M}^2 - \|v\|_{X_4,X_2,X_0}^2 \leq c \left(\left(B^2 + \frac{1}{B^5} \right) (BN)^{2-r/2} + M^{2-s} \right) \tilde{\mathcal{B}}_{r,s-1,B}^{1/2}(v) I \quad (40)$$

证明 根据投影定理,

$$+\|v\|_{N,M}^2 - \|v\|_{X_4,X_2,X_0}^2 = \inf_{V_{N,M}^*(8)} \|v - v_{X_4,X_2,X_0}\|_{V_{N,M}^*(8)}$$

令 $\|v\|_{N,B}^2, P_{M,IV}$ 如式(9)和(14)所示, 并取 $\zeta = \|v\|_{N,B}^2 + P_{M,IV} I - V_{N,M}^*(8) I$ 那么, 由式(10)和(15)可得到要证的结论(40)1 t

注记 3.1 结合式(37)、(38)和(39)得到

$$\begin{aligned} &+\zeta ((Q+1)^{3/2} (\|v\|_{N,M}^2 - \|v\|_{X_4,X_2}^2) + 8 \leq \\ &c(B^3 + 1/B^7)((BN)^{3/2-r/2} + M^{2-s}) \tilde{\mathcal{B}}_{r-1,s-1,B}^{1/2}(v) I \end{aligned} \quad (41)$$

类似地, 由式(37)和(40)得到

$$\begin{aligned} &+\zeta ((Q+1)^{3/2} (\|v\|_{N,M}^2 - \|v\|_{X_4,X_2,X_0}^2) + 8 \leq \\ &c(B^2 + 1/B^5)((BN)^{2-r/2} + M^{2-s}) \tilde{\mathcal{B}}_{r,s-1,B}^{1/2}(v), \end{aligned} \quad (42)$$

$$\begin{aligned} &+\zeta ((Q+1)^{3/2} (\|v\|_{N,M}^2 - \|v\|_{X_4,X_2,X_0}^2) + 8 \leq \\ &c(B^2 + 1/B^5)((BN)^{2-r/2} + M^{2-s}) \tilde{\mathcal{B}}_{r,s-1,B}^{1/2}(v) I \end{aligned} \quad (43)$$

现在, 我们来估计数值解 $u_{M,N}$ 的误差 1 令 $U_{N,M}^* = \|v\|_{N,M}^2 U$ 和 $U_{N,M} = u_{N,M} - U_{N,M}^* I$ 根据式(23)和(24)得到

$$\left\{ \begin{array}{l} (5_t \sim ((Q+1)^{3/2} U_{N,M}(t)), \sim ((Q+1)^{3/2} \cdot) 8 + \\ L(\$(((Q+1)^{3/2} U_{N,M}(t)), \$((Q+1)^{3/2} \cdot)) 8 + \\ \sum_{j=1}^5 G_j(\cdot, t) = 0, \quad P < I \quad V_{N,M}(8), \\ U_{N,M}(0) = \text{...} \end{array} \right. \quad (44)$$

其中

$$\begin{aligned} G_1(\cdot, t) &= (5_t \sim ((Q+1)^{3/2} (U_{N,M}^*(t) - U(t))), \sim ((Q+1)^{3/2} \cdot) 8, \\ G_2(\cdot, t) &= L(\$(((Q+1)^{3/2} (U_{N,M}^*(t) - U(t))), \$((Q+1)^{3/2} \cdot)) 8, \\ G_3(\cdot, t) &= -J((Q+1)^{3/2} \cdot, (Q+1)^{3/2} \cdot, (Q+1)^{3/2} U_{N,M}^*(t)), \\ G_4(\cdot, t) &= J((Q+1)^{3/2} (U_{N,M}^*(t) - U(t)), (Q+1)^{3/2} U_{N,M}^*(t), (Q+1)^{3/2} \cdot), \\ G_5(\cdot, t) &= J((Q+1)^{3/2} U(t), (Q+1)^{3/2} (U_{N,M}^*(t) - U(t)), (Q+1)^{3/2} \cdot) I \end{aligned}$$

所以有

$$\begin{aligned} 5_t + \sum_{j=1}^5 ((Q+1)^{3/2} U_{N,M}(t)) + \frac{2}{8} + 2L + \$((Q+1)^{3/2} U_{N,M}(t)) + \frac{2}{8} + \\ 2 \sum_{j=1}^5 G_j(U_{N,M}, t) = 0 \quad (45) \end{aligned}$$

接下来, 估计 $|G_j(U_{N,M}, t)|$, 1 [j [51 我们在式(37) 和(42) 中取 $v = 5_t U$ 后得到

$$\begin{aligned} |G_1(U_{N,M}, t)| &\leq \left| + \sim ((Q+1)^{3/2} U_{N,M}(t)) + \frac{2}{8} + \right. \\ &\quad \left. c \left(B^4 + \frac{1}{B^{10}} \right) ((BN)^{4-r} + M^{4-2s}) \tilde{\mathcal{R}}_{r,s,B}(5_t U(t)) I \right. \quad (46) \end{aligned}$$

令 c_* 表示 1 个正常数, 并记

$$V(v, R, B, t) = c_* (1 + 1/R) (B^4 + 1/B^{10}) (+v(t) + \frac{2}{8} X_4 X_2 X_6 8 + \tilde{\mathcal{R}}_{4,2,B}(v(t))) I$$

在式(32)、(33)、(42) 和(43) 中取 $v = U$ 后得到

$$\begin{aligned} \left| \sum_{j=2}^5 G_j(U_{N,M}, t) \right| &\leq \left| (L + \$((Q+1)^{3/2} U_{N,M}(t)) + \frac{2}{8} + \right. \\ &\quad \left. (c/L)(B^4 + 1/B^{10}) ((BN)^{4-r} + M^{4-2s}) \tilde{\mathcal{R}}_{r,s,B}(U(t)) @ \right. \\ &\quad \left. (V(U, L, B, t) + 1) + \sim ((Q+1)^{3/2} U_{N,M}(t)) + \frac{2}{8} + \right. \\ &\quad \left. + \sim ((Q+1)^{3/2} U_{N,M}(t)) + \frac{2}{8} + \right. \\ &\quad \left. c(B^4 + 1/B^{10}) V(U, L, B, t) ((BN)^{4-r} + M^{4-2s}) \tilde{\mathcal{R}}_{r,s,B}(U(t)) I \right| \end{aligned}$$

此外, 由式(41) 和(42) 得到

$$\begin{aligned} &+ \sim ((Q+1)^{3/2} U_{N,M}(0)) + \frac{2}{8} [\\ &c(B^6 + B^{-14}) ((BN)^{4-r} + M^{4-2s}) (\tilde{\mathcal{R}}_{-1,s-1,B}(U_0) + \tilde{\mathcal{R}}_{r,s,B}(U_0)) I \quad (47) \end{aligned}$$

令 $E(v, R, t)$ 如式(28) 所示 1 从而采用推导出式(36) 的类似方法得到

$$\begin{aligned} E((Q+1)^{3/2} U_{N,M}, L, t) &\leq c((BN)^{4-r} + M^{4-2s}) e^{\int_0^t (V(U, L, B, s) + 1) ds} @ \\ &\quad \left(\int_0^t e^{-Q_0^s (V(U, L, B, s) + 1) dG} R(U, L, B, s) ds + \tilde{\mathcal{R}}_{-1,s-1,B}(U_0) + \tilde{\mathcal{R}}_{r,s,B}(U_0) \right) I \end{aligned}$$

其中

$$R(U, L, B, t) = (B^4 + 1/B^{10}) (\tilde{\mathcal{R}}_{r,s,B}(5_t U(t)) +$$

$$(V(U, L, B, t) + 1)\tilde{\mathcal{B}}_{r,s,B}(U(t)))I$$

另一方面,由式(37)、(38)和(40)得到

$$E((Q+1)^{3/2}(U-u_{N,M}^*, L, t) \leq c(B^4 + 1/B^{10})((BN)^{4-r} + M^{4-2s}) \left(\tilde{\mathcal{B}}_{r,s,B}(U(t)) + Q_0^t \tilde{\mathcal{B}}_{r,s,B}(U(s))ds \right) I$$

结合上述估计式我们推得

$$E((Q+1)^{3/2}(U-u_{N,M}), L, t) \leq c((BN)^{4-r} + M^{4-2s}) \left((B^4 + 1/B^{10}) \left(\tilde{\mathcal{B}}_{r,s,B}(U(t)) + Q_0^t \tilde{\mathcal{B}}_{r,s,B}(U(s))ds \right) + e^{Q_0^t V(U, L, B, s) + 1} ds \right. \\ \left. - e^{Q_0^t} e^{-Q_0^s (V(U, L, B, G) + 1) dG} R(U, L, B, s) ds + \tilde{\mathcal{B}}_{r-1,s-1,B}(U_0) + \tilde{\mathcal{B}}_{r,s,B}(U_0) \right) I$$

显然,若 $\max_{0 \leq t \leq T} \tilde{\mathcal{B}}_{r,s,B}(U(t))$ 有界,则对于 $0 \leq t \leq T$,

$$E((Q+1)^{3/2}(U-u_{N,M}), L, t) = (B^4 + 1/B^{10}) O((BN)^{4-r} + M^{4-2s}) I \quad (48)$$

从而我们可得出如下结论1

定理 3.1 设 W 是式(16)的解, $w_{N,M}$ 是相应的数值解1 如果 W 适当光滑,使得对于整数

4 [$r \leq N+1$ 和 $s \leq 2$, $\tilde{\mathcal{B}}_{r-1,s-1,B}(U_0)$, $\max_{0 \leq t \leq T} \tilde{\mathcal{B}}_{r,s,B}(U(t))$ 和积分

$$Q_0^t e^{-Q_0^s (V(U, L, B, G) + 1) dG} R(U, L, B, s) ds$$

都有界,那么对于 $0 \leq t \leq T$,

$$E^*(W - w_{N,M}, L, t) = (B^4 + 1/B^{10}) O((BN)^{4-r} + M^{4-2s}) I \quad (49)$$

4 数值结果

在这节中,给出一些数值结果1 我们首先表述格式(24)的计算方法1 令 $\tilde{\mathcal{L}}^{(0,B)}(Q) = \tilde{\mathcal{L}}^{(B)}(Q)$ 和

$$\mathbb{W}_l(Q) = \tilde{\mathcal{A}}^{(B)}(Q) - 2\tilde{\mathcal{A}}_{+1}^{(B)}(Q) + \tilde{\mathcal{A}}_{+2}^{(B)}(Q), \quad 0 \leq l \leq N-2, \quad (50)$$

$$\langle_{l,m}^1(Q, H) = W(Q) \cos(mH), \quad 0 \leq l \leq N-2, 0 \leq m \leq M,$$

$$\langle_{l,m}^2(Q, H) = W(Q) \sin(mH), \quad 0 \leq l \leq N-2, 1 \leq m \leq M.$$

由于 $\mathbb{W}_l(0) = 5QW(0) = 0$,全体函数 $\langle_{l,m}^z(Q, H)$ ($z=1, 2$) 所组成的集合可作为空间 $V_{N,M}(8)$ 的基1 在实际计算时,我们把数值解 $w_{N,M}$ 展开为

$$w_{N,M}(Q, H, t) = \sum_{l=0}^{N-2} \left[\sum_{m=0}^M u_{l,m}^1(t) \langle_{l,m}^1(Q, H) + \sum_{m=1}^M u_{l,m}^2(t) \langle_{l,m}^2(Q, H) \right] I$$

今在式(24)中令 $\langle(Q, H) = \langle_{k,p}^z(Q, H)$,于是得到一个由 $(2M+1)(N-1)$ 个常微分方程所构成的线性系统1 在实际计算时,我们在时间方向上采用步长为 S 的四阶显式 Runge-Kutta 方法1 我们取测试函数

$$W(r, H, t) = (r-1)^2 (r/(r+9))^{3/2} e^{G/r} (\sin^2 H + \sqrt{t+1} \cos H) (r+t)^{-k} I$$

相应地有

$$U(Q, H, t) = Q^2 (Q+10)^{-3/2} e^{-Q} (\sin^2 H + \sqrt{t+1} \cos H) (Q+t+1)^{-k} I$$

为了描述数值误差, 我们用 QB_j 和 XB_j 分别表示 Laguerre–Gauss–Radau 求积公式的节点和权, 用 H_k 和 V_k 表示 Fourier 求积公式的节点和权 1 数值误差用下式来度量,

$$E_{N,M}(t) = \left\{ \sum_{j=0}^{N-2} \sum_{k=0}^M (W(QB_j + 1, H_k, t) - w_{N,M}(QB_j + 1, H_k, t))^2 (QB_j + 1)^4 X_{B,j} V_k \right\}^{1/2}$$

我们首先在测试函数中取参数 $C = 1$ 和 $k = 0$, 因此当 $r \in J$ 时该函数指数地衰减 1 根据估计式(49), 格式(24)在空间方向具有谱精度 1 在图 1 中, 我们绘制了当 $B = 1, N = 4M$ 和 $S = 0.01, 0.005, 0.001$ 时, 误差 $\lg E_{N,M}(1)$ 关于 M 的变化情况 1 显然, 当 N 和 M 增大和 S 减小时, 误差快速衰减。这表明了格式的收敛性和空间方向上的谱精度 1 在图 2 中, 我们绘制了当 $B = 1, 1.5, 2, N = 4M$ 和 $S = 0.001$ 时, 误差 $\lg E_{N,M}(1)$ 关于 M 的变化情况 1 它显示带有参数 $B = 1.5, 2$ 的数值结果较好 1 在图 3 中, 我们描出当 $B = 2, N = 4M = 40$ 和 $S = 0.001$ 时, 误差 $\lg E_{N,M}(t)$ 的变化情况, 这显示了长时间计算的稳定性 1

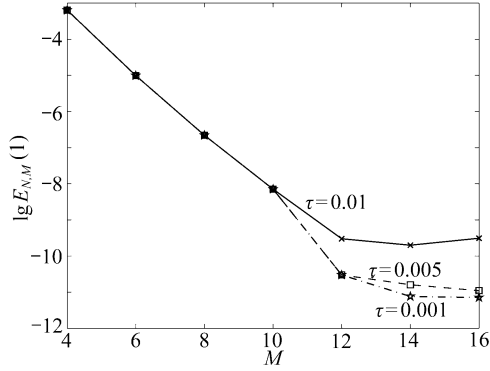


图 1 $w_{N,M}$ 的收敛速度

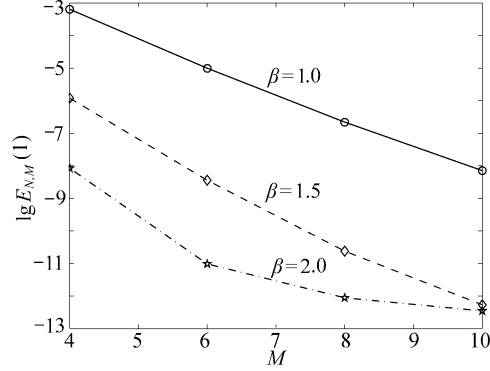


图 2 $w_{N,M}$ 的收敛速度

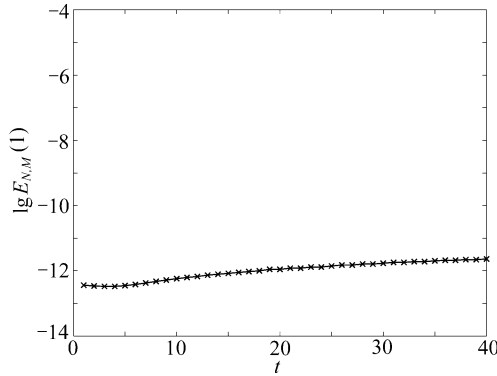


图 3 计算的稳定性

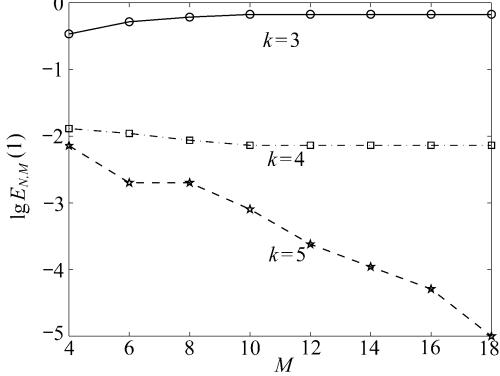


图 4 $k = 3, 4, 5$ 时 $w_{N,M}$ 的收敛速度

接下来, 我们在测试函数中取参数 $C = 0$ 和 $k = 3, 4, 5$ 根据式(49), 如果 $\tilde{\mathcal{B}}_{r,s,B}(U(t)) < J$ 且 $N = 4M$, 那么数值解的误差阶是 $N^{2-r/2}$ 1 由于在 $\tilde{\mathcal{B}}_{r,s,B}(U(t))$ 的定义中包含 $|U|_{A_B^{r,+}, H^2(I)}$ 等项, 因此要求

$$|U|_{A_B^{r,+}, H^2(I)} = \left[Q_8 Q e^{-BQ} (5Q^2 H^2 (e^{BQ^2} U))^2 dQ dH \right]^{1/2} < J, \quad (51)$$

当 $C = 0$ 时, 前面给出的测试函数为

$$U(Q, H, t) = Q^2 (Q+10)^{-3/2} (\sin^2 H + \sqrt{t+1} \cos H) (Q+t+1)^{-k}$$

由于 $U(Q, H, t)$ 随着 H 的变化而振荡, 故当 $Q \rightarrow 0$ 时, $\mathcal{S}_Q^r(e^{BQ^2} U(Q, H, t)) \sim Q^{k+1/2} e^{BQ^2}$, 所以, 条件(51) 要求 $k > (r + 2)/21$. 另一方面, 当 $r > 4$ 时, 格式是收敛的, 换句话说, $k > 3$ 可以保证格式收敛性, 相应的收敛阶大概是 N^{3-k} . 此时, 数值解是代数收敛的.

在图 4 中, 我们绘制了当 $B = 2, N = 4M$ 和 $S = 0.001$ 时, 误差 $\lg E_{N,M}(1)$ 关于 M 的变化情况. 我们发现当 $k = 3$ 时, 数值误差不随 M 增大而减小. 相反, 当 $k > 3$ 时, 它随 M 的增大而衰减, 而且 k 越大, 数值误差越小. 这又一次验证了我们的理论分析.

[参 考 文 献]

- [1] GUO Ben-yu. Spectral method for Navier-Stokes equations[J]. *Scientia Sinica, Ser A*, 1985, 28(11): 1139–1153.
- [2] GUO Ben-yu, MA He-ping. Combined finite element and pseudospectral method for the two-dimensional evolutionary Navier-Stokes equations[J]. *SIAM J Numer Anal*, 1993, 30(4): 1066–1083.
- [3] Hald O H. Convergence of Fourier methods for Navier-Stokes equations[J]. *J Comp Phys*, 1981, 40(3): 305–317.
- [4] Maday Y, Quarteroni A. Spectral and pseudospectral approximations of the Navier-Stokes equations [J]. *SIAM J Numer Anal*, 1982, 19(4): 761–780.
- [5] GUO Ben-yu, SHEN Jie, XU Cheng-long. Generalized Laguerre approximation and its applications to exterior problems[J]. *J Comp Math*, 2005, 23(2): 113–130.
- [6] ZHANG Xiao-yong, GUO Ben-yu. Spherical harmonic-generalized Laguerre spectral method for exterior problem[J]. *J Sci Comp*, 2006, 27(1/3): 523–537.
- [7] GUO Ben-yu, ZHANG Xiao-yong. Spectral method for differential equations of degenerate type on unbounded domains by using generalized Laguerre functions[J]. *Appl Numer Math*, 2007, 57(4): 455–471.
- [8] GUO Ben-yu, JIAO Yu-jian. Mixed generalized Laguerre-Fourier spectral method for exterior problem of Navier-Stokes equations[J]. *Disc Cont Dyna Syst*, 2009, 11(2): 315–345.
- [9] GUO Ben-yu. Spectral Methods and Their Applications[M]. Singapore: World Scientific, 1998.

Mixed Spectral Method for Exterior Problem of Navier-Stokes Equations by Using Generalized Laguerre Functions

JIAO Yu-jian^{1,2,3}, GUO Ben-yu^{1,2,3}

(1. Department of Mathematics, Shanghai Normal University,
Shanghai 200234, P. R. China;

2. Scientific Computing Key Laboratory of Shanghai Universities,
Shanghai 200234, P. R. China;

3. Division of Computational Science of E-Institute of Shanghai Universities,
Shanghai 200234, P. R. China)

Abstract: The mixed spectral method using generalized Laguerre functions for exterior problems of partial differential equations of fourth order was investigated. A mixed spectral scheme was provided for the stream function form of the Navier-Stokes equations outside a disc. Numerical results demonstrate the spectral accuracy in space.

Key words: spectral method; exterior problems of fourth order; Navier-Stokes equations